

التنميط الحيوي لعتر المطثية المعزولة من حالات تذيفن الدم المعوي في الأغنام باستخدام تقنية الاليزا

محمد علي حمد^١، د ناجح هبره^٢ و عبد الكريم قلب اللوز^٣

^١ قسم الأحياء المجهرية، كلية الطب البيطري، جامعة الموصل، الموصل، العراق،
^٢ قسم الأحياء الدقيقة، قسم أمراض الحيوان، كلية الطب البيطري، جامعة البعث، سوريا

(الاستلام ٣٠ كانون الأول ٢٠٠٨؛ القبول ١٣ تموز ٢٠٠٩)

الخلاصة

صممت هذه الدراسة لتميز أنماط المطثية الحاطمة و ذيفاناتها في الأغنام المشتبه بإصابتها بتدفيف الدم المعوي في محافظة حماه. لهذا الغرض، تم عزل ٨٩ عزلة جرثومية من ١٣٢ عينة مأخوذة من أغنام نافقة وبعض الأغنام المذبوحة المشتبه بإصابتها بتدفيف الدم وشخصت بالاختبارات التشخيصية الفلكلورية وباختبار الاليزا ELISA لتحديد أنماط الجرثومة وذيفاناتها. كانت هذه العزوّلات بشكل عصيات موجبة الكرام، منتفخة ذات نهايات كليلة وكانت موجبة لتحلل اللستين و الجيلاتين ومخرمة للسكريات، وسائلة للكثيلز و الاوكسيديز و الاندول. اعتماداً على نتائج الاليزا فإن جميع العزوّلات كانت لجرثومة المطثية الحاطمة أنماط A ٨٤ (٩٤.٣٨ %)، D ٣ (٣.٣٧ %)، و C ٢ (٢.٢٥ %). النمط A كان النمط السائد في حالات تذيفن الدم المعوي في الأغنام في محافظة حماه. أن تذيفن الدم المعوي يسبب خسارة اقتصادية كبيرة لصناعة الأغنام في محافظة حماه بصورة خاصة وفي سورية بصورة عامة، لهذا السبب يوصى بتطبيق جدول تعليم صحيح ضد تذيفن الدم المعوي على قطعان الأغنام في محافظة حماه. هذه اللقاحات يجب أن تمنح مناعة وقائية كافية ضد جميع أنماط المطثية الحاطمة و بالأخص أنماط A و D.

Biotyping of *Clostridium Perfringens* strains isolated from enterotoxemia cases in sheep using ELISA technique

M. A. Hamad¹, N. Habra² and A. Kalb Allouz³

¹ Department of Microbiology, College of Veterinary Medicine, University of Mosul, Mosul, Iraq,

² Department of Microbiology, ³ Department of Animal Diseases, College of Veterinary Medicine, AL-Baath University, Syria

Abstract

The study was designed to determine the types of *Clostridium perfringens* and their toxins in sheep with suspected enterotoxemia in Hama province, Syria. For this purpose, 89 bacterial isolates were isolated from 132 samples collected from dead and some slaughtered sheep with suspected enterotoxemia and diagnosed with classical diagnostic tests and by using enzyme-linked immunosorbent assay (ELISA) technique to determine the types and toxins of *C. perfringens*. These isolates appeared as G+ bulged rods with curved ends and were as positive to lecithinase, gelatin hydrolysis and sugar fermented, as where negative to catalase, oxidase, and indole. Based on the ELISA results all isolates were *C. perfringens* types A 84 isolate (94.38 %), D 3 (3.37 %), and C 2(2.25 %). *Clostridium perfringens* type A was the dominant type in cases of enterotoxemia in sheep in Hama province detected by ELISA test. The enterotoxaemia causes considerable economic loss to the sheep industry particularly in Hama province and generally in Syria. Therefore, it is recommended that a proper vaccination schedule against enterotoxemia should be implemented for sheep flocks in Hama province. These vaccines should provide adequate protective immunity against all *C. perfringens* types specially types A and D.

المقدمة

سلسلة البوليميراز PCR (١٥,٧). بين هذه الاختبارات، الإليزا و تراص اللاتكس و تفاعل سلسلة البوليميراز استخدمت التشخيص المختبري لتزيف الدم المعوي enterotoxemia، خصوصاً في حالات نقشيات الموت المفاجئة في الأغنام. هذه الاختبارات بسيطة، محدودة الكلفة، وتعطي نتائج كمية. لذا يمكن أن تستعمل لتمييز الديفان ولتشخيص التفريقي للتزيف الدموي المعوي بانماط المطثية الحاطمة A, B, C, D (١١,٥-١٣). على سبيل المثال، وجدت الإليزا دقة بنسبة ٩٥ % لكشف ذيفانات المطثية الحاطمة في المحتويات المعوية للأغنام المشتبه بإصابتها بالتزيف الدموي المعوي (٢٢)، والمقارنة بين الإليزا و تراص اللاتكس أظهرت بأن الإليزا حساسة بنسبة ٩٦,٥ % و نوعية بنسبة ٩٥,٢ % (١٣)، حيث إليزا حساسة بما فيه الكفاية لاكتشاف كمية صغيرة بحدود ١ ng / ملليلتر من ذيفانات بيتا و أوتا النقية و ٠,١ ng / ملليلتر من ذيفان ابسيلون المنقى (١٧). من المعروف جيداً أن تلقيح الأغنام ضد المطثية الحاطمة مهم جداً لمنع تزيف الدم المعوي (١٨,١٩)؛ على أية حال، الأنماط الحيوية biotypes للمطثية الحاطمة المسببة للتزيف الدم المعوي في منطقة معينة يجب أن تميز لكي يصاغ لفاح مناسب. لذا، الأنماط الحيوية للمطثية الحاطمة يجب أن تحدد في الأغنام المصابة بالمرض وهو هدف الدراسة الحالية المتضمنة تحديد الأنماط الحيوية للمطثية الحاطمة و ذيفاناتها المعزولة من الأغنام المشكوك بإصابتها بتزيف الدم المعوي باستعمال الإليزا.

المواد وطرق العمل

تم عزل ٨٩ عزلة جرثومية من ١٣٢ عينة مأخوذة من أغنام ناقفة و أخرى مذبحة مشتبه بإصابتها بتزيف الدم المعوي وشملت هذه العينات على الأمعاء وبعض الأحشاء الداخلية وتم تشخيص هذه العزوّلات بالطرق التقليدية بالزرع في الأوساط السائلة والصلبة المناسبة والانتقائية منها وسط الثيو غليوكولات Thioglycolate medium، وسط أكار المطثية الويليشية Sulphadiazine agar medium، Polymyxin B-Sulphite)SPS clostralidial agar (Clostridium welchii agar، وسط اغار المطثيات (٢٠) وتحت الظروف اللاهوائية باستخدام جرة ماكتنوش وبداخلها مغلف خاص للزرع اللاهوائي مصنوع من قبل شركة ميرك، ثم بعد نمو المستعمرات تم تنقيتها ودراسة الخواص الشكلية للمستعمرات و المظهر المجهرى وزرعت على اغار Double zone hemolysis test، وأجريت الاختبارات الكيميائية الحيوية النوعية للمطثية الحاطمة (٢١) مثل اختبار الكتاليز، الاوكسيديز، اختبار هيدروكسيد البوتاسيوم، تخمر السكريات، اختبار تحلل الجيلاتين، اختبار اللستينيز، اختبار الليبيز. بعد ذلك اجري عليها اختبار الإليزا.

المطثية الحاطمة تسبب أمراض تزيف الدم المعوي وأمراض معدية معوية في الحيوانات، و التسمم الغذائي، و غذائية، و التهاب أمعاء نخري في البشر (٤-١١). تزيف الدم enterotoxaemia الذي تسببه المطثية الحاطمة مرض معوي فاتل يؤثر على كل أنواع الحيوانات الداجنة والبشر و أحد أكثر الأمراض حدوثاً في الأغنام والماعز في العالم، حيث أشارت التقارير إلى أن نسب انتشار المرض تراوحت بين ٢٤,١٪ و ١٠٠٪ (٧-٥)، وفي تركيا على سبيل المثال نسب انتشار تزيف الدم المعوي في الأغنام بين ٣٨,٦٪ و ٥٪ مع عزل المطثية الحاطمة بالأنماط A, B, C, D في الأغنام، بالرغم من أن أغلبية هذه العزوّلات شخصت كنمط D (٩,٨).

المطثية الحاطمة صنفت إلى ٥ أنماط مولدة للديفان toxicigenic types (A, B, C, D, E) على أساس إفرازها ٤ ذيفانات رئيسية: ألفا alpha، بيتا beta، ابسيلون epsilon، و أوتا iota. الجرثومة ساكن طبيعي للأمعاء، لكن عادة موجودة بأعداد منخفضة. هذه الكائنات الحية تنتج ذيفانات بكمية قليلة وتحت الظروف الطبيعية تزال بواسطة حركات الأمعاء الطبيعية أو تكون معطلة بالأضداد الجائلة circulating antibodies. التغييرات المفاجئة في النظام الغذائي (الرعى في المراعي المعشبة السريعة النمو أو المحاصيل الحيوانية الصغيرة) أو إطعام حبوب نقلية (كما في التسمين feedlots) يسمح للجراثيم بالمضاعفة بسرعة. يحدث تسمم الدم عندما حركة الغذاء في الأمعاء تتباطأ أو الكائنات الحية تتضاعف وتنتج ذيفان أسرع من أن يزال أو يعادل (١,٣). الكميات الكبيرة للديفان بالإضافة إلى أعداد كبيرة من المطثية الحاطمة يمكن أن تلاحظ عادة في المحتويات المعوية للحيوانات المريضة أو الناقفة (١,٣). بما أن الجرثومة ساكن طبيعي في أمعاء الإنسان والحيوان، الكشف عن الجرثومة لوحدتها ليس كافي لتشخيص المرض.

إن تشخيص تزيف الدم المعوي عادة مستند على العلامات الإكلينيكية والنتائج المرضية، لكن تحديد الذيفانات في المحتويات المعوية ضروري لتأكيد التشخيص. الطريقة المستعملة على نحو واسع لكشف الديفان هي اختبار حماية الفأر mouse protection test، الذي هو غالباً، ويستهلك وقت (١٠)، وعلاوة على ذلك فإن معاملة الحيوانات المستخدمة في الاختبار هي غير إنسانية لذا الاختبارات خارج الجسم البديلة مطلوبة. من الناحية الأخرى، عدد من التقنيات المصلية والجزئية تستعمل لتمييز الذيفانات، ومنها رحلان كهربائي مناعي معaks counterimmunolectrophoresis (CIE) (١١)، مقاييس Enzyme-linked immunosorbent assay (إليزا ELISA) (١٢,٥)، اختبار تراص اللاتكس latex agglutination test (LAT) (١٤,١٣)، و تفاعل

تحلل دموي جزئي (α -haemolysis) حول المستعمرات. أما الاختبارات الكيميائية الحيوية فأظهرت أن العزلات سالبة الكتيليز و الاوكسيبيز و الاندول، و موجبة لتحلل الجيلاتين و مخمرة للسكريات (جلوكوز، مالتوز، لاكتوز، سكروز) (الصورة رقم ٢) وعلى وسط أكار المطبية الوليشية W.C المضاف له مح البيض كانت محللة للستين (الصورة رقم ٣) و سالبة اللايبيريز. أظهرت هذه الاختبارات أن العزلات الجرثومية المعزولة من العينات المرضية والبالغ عددها ٨٩ عزلة كانت جميعها من نوع المطبية الحاطمة.



الصورة (١): جراثيم المطية الحاطمة عصيات موجبة الغرام
بشكل سلسلة قصيرة.



الصورة (٢): اختبار تخمر السكريات: الجرثومة مخمرة لللكلوكوز، اللاكتوز، السكروروز، المالتوز.

التشخيص بالا ليزا

بيان نتائج اختبار الاليزا أن العزلات الجرثومية المستخدمة في الاختبار والبالغ عددها ٨٩ عزلة المعزولة من ١٣٢ عينة (٦٧,٤ %) كانت من نوع المطبيبة الحاطمة. صنفت العزلات حسب نتائج التمييط اعتماداً على الذيفانات المنتجة من قبل الجرثومية (الشكل ١) إلى ٨٤ (94.38 %) عزلة من النمط A،

اختبار الاليزا : ELISA procedure

زرعت العزولات في وسط الثيوغليكولات في ظروف لاهوائية بدرجة ٣٧° لمدة ليلة كاملة.

وجود ذيفانات المطثية الحاطمة في الوسط الزرعي حدد باستخدام تقنية الاليزا غير المباشرة التجارية (Euroclone Life Sciences, Italy). طبقاً لتعليمات الشركة المنتجة، في الاختبار (Sciences, Italy)، صفوف A، C، G و E محسنة بالأضداد النوعية لذيفانات ألفا، بينما، أو بسيلون epsilon، أو أضداد المطثية الحاطمة بينما بيتا، أو بسيلون epsilon، أو أضداد ألفا، بينما بيتا، أو بسيلون epsilon، أو محتوية أضداد غير نوعية. باختصار، صفوف B، D، F، و H محتوية أضداد غير نوعية. درجة حرارة الغرفة لمدة ١ ساعة. بعد هذا الحضن الأول، أضيفت إلى الحفر الملائمة، والصفائح بعد ذلك حضنت في درجة حرارة الغرفة لمدة ١ ساعة. بعد هذا الحضن الأول، الصفائح غسلت ٣ مرات بسائل الغسل washing solution، و أضيف ١٠٠ ميكروليلتر من محلول الاقتران conjugate (١:٥٠) إلى كل حفرة وبعد ذلك حضنت في درجة حرارة الغرفة لمدة ١ ساعة. بعد هذا الحضن وغسل الصفائح كالسابق أضيف ١٠٠ ميكروليلتر من محلول المؤشر indicator solution (مزيج من مولد لون chromogen وركيزة substrate) إلى كل حفرة. كل الصفائح حضنت بعد ذلك في درجة حرارة الغرفة لمدة ٢٠ دقيقة. بعد هذا الحضن، التفاعل وقف بإضافة ٥٠ ميكروليلتر من محلول التوقف (١ مول حمض النسفسوريك). أخيراً، الكثافات البصرية optical densities (OD) سجلت في طول موجي nm ٤٥٠ باستعمال قارئ الصفيحة الدقيق micro plate reader (Tecan-spectra, Austria). الكثافة البصرية الصافية لكل عينة حسبت بطرح الكثافة البصرية للسيطرة السلبية المرافقة من القراءة لكل حفرة عينة. طبقاً لنشرة بيانات المنتج، الحد الأدنى الإيجابي للكثافة البصرية للمطثية الحاطمة و لذيفانات ألفا، بينما، و بسيلون هو 0.150 ± 0.150 ؛ لذا، أي عينة أنتجت اختلاف في الكثافة البصرية < 0.150 ، اعتبرت إيجابية للذيفانات المختبرة. بالمقابل، أي عينة أنتجت اختلاف في الكثافة البصرية > 0.150 ، اعتبرت سلبية.

النتائج

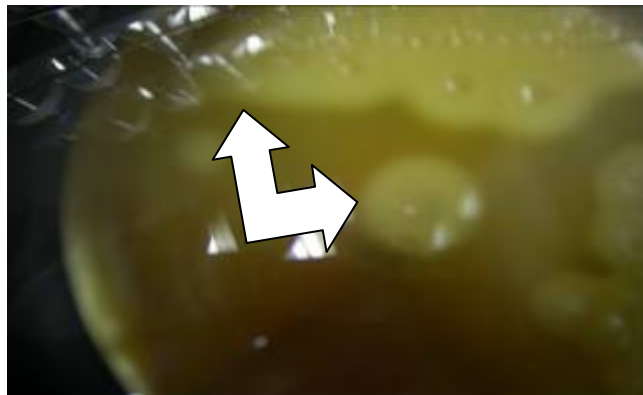
التشخيص التقليدي

أظهرت نتائج التشخيص الجرثومي في هذه الدراسة مستعمرات دائيرية، مسطحة flat، رمادية و المظهر المجهري للجرثومة بشكل جراثيم عصوية الشكل (قضبان) موجبة الكرام (الصورة رقم ١) منقحة قصيرة بنهايات كليلة " صندوق السيارة Car boxes" بشكل أزواج أو منفردة أو أحياناً بشكل سلسل قصيرة و ذات تحلل دموي مميز على أكار الدم حيث كانت المستعمرات محاطة بنطاقين من التحلل الدموي Double zone of haemolysis حول وتحت المستعمرات ونطاق واسع من β -haemolysis

ELISA Plate																																																																																																																																	
Select Plate		Dilution Plate:	Tested Agent:																																																																																																																														
Select Test		Agent:	Add Agent...	Serial:																																																																																																																													
Results This window displays reader results [Press ALT + Arrow Keys for keyboard editing].																																																																																																																																	
<table border="1"> <thead> <tr> <th></th><th>1</th><th>2</th><th>3</th><th>4</th><th>5</th><th>6</th><th>7</th><th>8</th><th>9</th><th>10</th><th>11</th><th>12</th></tr> </thead> <tbody> <tr> <td>A</td><td>0.828</td><td>0.916</td><td>0.564</td><td>0.934</td><td>0.764</td><td>0.812</td><td>0.832</td><td>0.753</td><td>0.986</td><td>0.973</td><td>0.975</td><td>0.786</td></tr> <tr> <td>B</td><td>0.062</td><td>0.064</td><td>0.058</td><td>0.068</td><td>0.075</td><td>0.072</td><td>0.033</td><td>0.042</td><td>0.043</td><td>0.023</td><td>0.031</td><td>0.024</td></tr> <tr> <td>C</td><td>0.764</td><td>0.455</td><td>0.984</td><td>0.619</td><td>0.808</td><td>0.618</td><td>0.675</td><td>0.877</td><td>0.763</td><td>0.788</td><td>0.744</td><td>0.679</td></tr> <tr> <td>D</td><td>0.063</td><td>0.062</td><td>0.058</td><td>0.068</td><td>0.071</td><td>0.071</td><td>0.032</td><td>0.031</td><td>0.072</td><td>0.032</td><td>0.043</td><td>0.022</td></tr> <tr> <td>E</td><td>0.797</td><td>0.801</td><td>0.986</td><td>0.861</td><td>0.759</td><td>0.921</td><td>0.853</td><td>0.678</td><td>0.911</td><td>0.863</td><td>0.876</td><td>0.798</td></tr> <tr> <td>F</td><td>0.057</td><td>0.062</td><td>0.063</td><td>0.069</td><td>0.064</td><td>0.085</td><td>0.023</td><td>0.054</td><td>0.021</td><td>0.045</td><td>0.043</td><td>0.046</td></tr> <tr> <td>G</td><td>0.776</td><td>0.742</td><td>0.822</td><td>0.764</td><td>0.877</td><td>0.467</td><td>0.942</td><td>0.898</td><td>0.822</td><td>0.923</td><td>0.964</td><td>0.964</td></tr> <tr> <td>H</td><td>0.066</td><td>0.059</td><td>0.065</td><td>0.068</td><td>0.077</td><td>0.067</td><td>0.033</td><td>0.064</td><td>0.034</td><td>0.032</td><td>0.062</td><td>0.036</td></tr> </tbody> </table>														1	2	3	4	5	6	7	8	9	10	11	12	A	0.828	0.916	0.564	0.934	0.764	0.812	0.832	0.753	0.986	0.973	0.975	0.786	B	0.062	0.064	0.058	0.068	0.075	0.072	0.033	0.042	0.043	0.023	0.031	0.024	C	0.764	0.455	0.984	0.619	0.808	0.618	0.675	0.877	0.763	0.788	0.744	0.679	D	0.063	0.062	0.058	0.068	0.071	0.071	0.032	0.031	0.072	0.032	0.043	0.022	E	0.797	0.801	0.986	0.861	0.759	0.921	0.853	0.678	0.911	0.863	0.876	0.798	F	0.057	0.062	0.063	0.069	0.064	0.085	0.023	0.054	0.021	0.045	0.043	0.046	G	0.776	0.742	0.822	0.764	0.877	0.467	0.942	0.898	0.822	0.923	0.964	0.964	H	0.066	0.059	0.065	0.068	0.077	0.067	0.033	0.064	0.034	0.032	0.062	0.036
	1	2	3	4	5	6	7	8	9	10	11	12																																																																																																																					
A	0.828	0.916	0.564	0.934	0.764	0.812	0.832	0.753	0.986	0.973	0.975	0.786																																																																																																																					
B	0.062	0.064	0.058	0.068	0.075	0.072	0.033	0.042	0.043	0.023	0.031	0.024																																																																																																																					
C	0.764	0.455	0.984	0.619	0.808	0.618	0.675	0.877	0.763	0.788	0.744	0.679																																																																																																																					
D	0.063	0.062	0.058	0.068	0.071	0.071	0.032	0.031	0.072	0.032	0.043	0.022																																																																																																																					
E	0.797	0.801	0.986	0.861	0.759	0.921	0.853	0.678	0.911	0.863	0.876	0.798																																																																																																																					
F	0.057	0.062	0.063	0.069	0.064	0.085	0.023	0.054	0.021	0.045	0.043	0.046																																																																																																																					
G	0.776	0.742	0.822	0.764	0.877	0.467	0.942	0.898	0.822	0.923	0.964	0.964																																																																																																																					
H	0.066	0.059	0.065	0.068	0.077	0.067	0.033	0.064	0.034	0.032	0.062	0.036																																																																																																																					
<input type="checkbox"/> Edit Wells Test Date: _____																																																																																																																																	
<input type="checkbox"/> QD Scan <input type="button" value="Read"/> <input type="button" value="Stop"/> <input type="button" value="Delete"/> <input type="button" value="Save"/> <input type="button" value="Print"/>			<input type="button" value="Preview"/> <input type="button" value="Help"/> <input type="button" value="Close"/>																																																																																																																														

الشكل رقم (١): صفيحة الإليزا لذيفان ألفا حيث يلاحظ أن العزولات تكون موجبة لذيفان ألفا إذا كان فرق القراءة بين كل قراءتين متتاليتين أكثر من 0.150.

٣ (3.37 %) عزلة نمط D و ٢ (2.25 %) عزلة من نمط C (الجدول رقم ١). النمط A كان النمط السائد بين العزولات.



الصورة (٣): اختبار تحلل اللسجين للمطية الحاطمة الواضحة كمناطق صفراء حول المستعمرات.

الجدول (١): نتائج اختبار الإليزا.

عدد العزولات	ذيفان الفا	ذيفان بيتا	ذيفان ابسيلون	المطية الحاطمة	نمط الجرثومة	النسبة المئوية %
٨٤	+++	—	—	+++	A	94.38
٣	+++	—	—	+++	D	3.37
٢	+++	—	+++	+++	C	2.25

المحتويات المعاوية للأغنام المشكوك بإصابتها بتنفيف الدم المعاوي (٢٢، ١١، ٥). لذا، تبقى الإلiza الاختبار النوعي الأبرز لذيفانات المطية الحاطمة.

السبب للعينات الأكثر إيجابية المستندة على الإلiza أيضاً يمكن أن يكون أيضاً بسبب وجود كميات منخفضة من الذيفانات، التي قد لا تكون قابلة للكشف من قبل التقنيات الأخرى (مثل تراص اللاتكس). لذا، النتائج المتحصل عليها في اختبار الإلiza يمكن أن تقبل كنسبة مؤدية حقيقة لتنفيف الدم المعاوي في الأغنام التي ماتت فجأة.

إن فصل الشتاء طويل والقطعان تبقى في الحظائر لأكثر من ٣ شهور. أثناء الربيع، تتمو النباتات بسرعة جداً في المراعي والقطعان تتوضع خارج الحظائر على المراعي وتترعى كميات كبيرة من النباتات الخضراء في فترة قصيرة. على النقيض من ذلك، المحاصيل الحبوبية محصودة في فترة قصيرة في الصيف. رعي الحيوانات في المراعي تنتقل إلى هذه الحقول وتسمح باستهلاك كميات كبيرة من الحبوب، في الغالب الحنطة والشعير، في فترة زمنية قصيرة، وهي عوامل مهيئة مهمة لتنفيف الدم المعاوي في الأغنام (٣، ١). لذا، استهلاك كميات غير محتملة من العشب الخصب والحبوب في فترة

المناقشة

في الدراسة الحالية العزولات المختبرة شخصت بالطرق التقليدية على أنها جراثيم المطية الحاطمة، وعندما اختبرت بالإلiza كانت موجبة لذيفانات المنتجة من قبل المطية الحاطمة. تم تحديد هذه العزولات كنمط A، D، و C للمطية الحاطمة مع سيادة النمط A في العزولات الموجبة لإنتاج الذيفان وهذه النتيجة مشابهة لما أشارت له مراجع عديدة التي سجلت النمط A على أنه النمط الأكثر سيادة في الأغنام (٦، ٦، ٧) بينما أشارت مراجع أخرى إلى أن النمط D هو النمط الأكثر هيمنة المسبب لتنفيف الدم المعاوي في الأغنام (٩، ٨). على أية حال، بشكل مماثل لهذه الدراسات، أشارت دراسة منشورة مؤخراً بأن المطية الحاطمة نمط A هي النمط السائد في الأغنام المشكوك بإصابتها بتنفيف الدم المعاوي التي تدعم النتائج المستحصلة في الدراسة الحالية (٢٢).

استعملت الإلiza في التشخيص المختبري لحالات تنفيف الدم المعاوي، خصوصاً في حالات انفلاتات الموت المفاجئة في الأغنام (١٣-١١، ٥). ذكرت عدة مراجع أن الإلiza موثقة بنسبة ٩٥ % للكشف عن ذيفانات المطية الحاطمة في

المصادر

- Quinn PJ, Carter ME, Markey B, Carter GR. Clinical Veterinary Microbiology 6th ed. Edinburgh, New York: Mosby ; 2004. 191-208p.
- Davies RH, Wray C. Seasonal variations in the isolation of *Salmonella typhi-murium*, *Salmonella enteritidis*, *Bacillus cereus* and *Clostridium perfringens* from environmental samples. Zentralbl Veterinarmed. 1996;43:119-127.
- Songer JG. Clostridial enteric diseases of domestic animals. Clin Microbiol Rev. 1996;9:216-234.
- Itodo AE, Adesiyun AA, Adekeye JO, Umoh JU. Toxintypes of *Clostridium perfringens* strains isolated from sheep, cattle and paddock soils in Nigeria. Vet Microbiol. 1986;12:93- 96.
- El Idrissi AH, Ward GE. Evaluation of enzyme-linked immuno - sorbent assay for diagnosis of *Clostridium perfringens* enterotoxemias. Vet Microbiol. 1992;31:389-396.
- Miserez R, Frey J, Buogo C, Capaul S, Tontis A, Burnens A, Nicolet J. Detection of alpha- and-epsilon-toxigenic *Clostridium perfringens* type D in sheep and goats using a DNA amplification technique (PCR). Lett Appl Microbiol. 1998;26:382-386.
- Greco G, Madio A, Buonavoglia D, Totaro M, Corrente M, Martella V, Buonavoglia C. *Clostridium perfringens* toxin-types in lambs and kids affected with gastroenteric pathologies in Italy. Vet J. 2005;170: 346-350.
- Osturk G. Etiopathology of enterotoxaemia in small ruminants in Elazig and surrounding cities. Turk J Vet Anim Sci. 1996;20:63-68.
- Ozcan C, Gurcay M. Enterotoxaemia incidence in small ruminants in Elazig and surrounding provinces in 1994-1998. Turk J Vet Anim Sci. 2000;24:283-286.
- Duchesnes C, Granum PE, Menozzi MG, Peck M, Pelkonen S, Popoff M, Stackebrandt E and Titball R.EUROPEAN COMMISSION-European Consortium Action QLK2-CT2001-01267: Clostridia in medical, veterinary and food microbiology Diagnosis and typing. Key Action 2 – Control of infectious diseases EUR 21463 EN. 2006.
- Henderson TG. The detection of *Clostridium perfringens* type D enterotoxin in the intestinal contents of animals by counter immunoelectrophoresis. N Z J Sci. 1984;27:423-426.
- Naylor RD, Martin PK, Sharpe RT. Detection of *Clostridium perfringens* epsilon toxin by ELISA. Res Vet Sci. 1987;42:255-256.
- McClane BA, Snyder JT. Development and preliminary evaluation of a slide latex agglutination assay for detection of *Clostridium perfringens* type A entero- toxin. J Immunol Methods. 1987;100:131-136.
- Martin PK, Naylor RD. A Latex agglutination test for the qualitative detection of *Clostridium perfringens* epsilon toxin. Res Vet Sci. 1994;56:259-261.
- Yoo HS, Lee SU, Park KY, Park YH. Molecular typing and epidemiological survey of prevalence of *Clostridium perfringens* types by multiplex PCR. J Clin Microbiol. 1997;35:228-232.
- Kalender H, Ertas HB, Cetinkaya B, Muz A, Arslan N, Kilic A. Typing of isolates of *Clostridium perfringens* from healthy and diseased sheep by multi-plex PCR. Vet Med-Czech. 2005;50:439- 442.
- Nagahama M, Kobayashi K, Ochi S, Sakurai J. Enzyme-linked immuno- sorbent assay for rapid detection of toxins from *Clostridium perfringens*. FEMS Microbiol Lett. 1991;68(1):41-4.
- Dela Rosa C, Hogue DE, Thonney ML. Vaccination schedules to raise antibody concentrations against epsilon-toxin of *Clostridium perfringens* in ewes and their triplet lambs. J Anim Sci. 1997;75:2328- 2334.
- Bernath S, Fabian K, Kadar I, Szita G, Barna T. Optimum time interval between the first vaccination and the booster of sheep for *Clostridium perfringens* type D. Acta Vet Brno. 2004;73:473-475.
- Anita CD, David CV, Paul SM, Ellis RP. Comparison of the odds of isolation,genotypes, and in vivo production of major toxins by clostridium perfringens obtained from the gastrointestinal tract of

زمنية قصيرة قد تلعب دور في الحدوث العالمي لتغيف الدم المعموي.

تغيف الدم المعموي يسبب خسارة اقتصادية أكبر بين حملان مغذاة على علقة مركزية وعلى المراعي من كل الأمراض الأخرى مجتمعة، إذا التقيح لم يجري (٣،١). لسوء الحظ، أكثر مربي الأغنام لا يلقوهن نعاجهم ضد تغيف الدم المعموي وأكثر من نصف المالكين الذين يلقوهن يعطون فقط جرعة أحادية من اللقاح. مع هذا، من المعروف جيداً أن التطعيم الأولي يجب أن يتبع بجرعة مقوية خلال ٦-٤ أيام لاحقاً من أجل تعزيز المناعة الوقائية (١٧،١٨). إضافة إلى ذلك، تطعيم النعاج الحبل مهم أيضاً لتحويل المناعة السلبية خلال اللبا colostrum إلى الحملان الوليدة. لذا، قلة برامج التطعيم ضد تغيف الدم المعموي في الحملان من المحتمل جداً أنه سبب آخر للحدوث العالمي للمرض. فضلاً عن ذلك كان يعتقد ان المطثية الحاطمة نمط D هي النمط السائد المسئل لتغيف الدم المعموي في الأغنام، لكن، نتيجة الدراسة الحالية أشارت إلى أن كلا النمطين A و D يجب أن يعتبرا المسببات الرئيسية لتغيف الدم المعموي في الأغنام. من الناحية الأخرى، حتى الآن، أكثر الفحاص المحسنة والمعطاة لتحصين الأغنام ضد النمط D وأنماط أخرى مهملة في المحافظة، والتي قد تكون أيضاً سبب آخر للحدوث العالمي للمرض.

من المعروف جيداً أن تغيف الدم المعموي يسبب خسارة اقتصادية كبيرة إلى صناعة الأغنام بسبب نسبة هلاكات عالية، انخفاض الإنتاجية، وزيادة كلف المعالجة (٦،٩). في الدراسة الحالية، معدل الهلاكات في القطعان تراوحت بين ٣٪، ٢٪ و ٣٪. فضلاً عن أن ٦٧٪ من العينات التي جمعت من الأغنام كانت إيجابية لتغيف الدم المعموي من قبل اختبار الإلزا. لذا، تقترح نتيجة الدراسة الحالية أن حمام بشكل خاص وفي سوريا بشكل عام، حيث يبلغ عدد الأغنام في سوريا ٢١٣٨٠٠٣٠، وفي حمام ٢٥٩١٤١٩ حسب إحصائية وزارة الزراعة لعام ٢٠٠٦. من الناحية الأخرى، الخسارة الاقتصادية المسببة بالأمراض المطثية يمكن أن تمنع بالإدارة وتوقيت التطعيم المناسبين (٣،١). وهكذا، يمكن أن يقترح تهيئة لفاح مناسب يعطي للتحصين ضد كلا النمطين A و D في الأغنام في محافظة حماه.

نستنتج من هذه الدراسة أن المطثية الحاطمة أنماط A، B، C و D قد تسبب تغيف الدم المعموي، لكن النمطين A و D كانوا المسببين السائدين للمرض في أغنام محافظة حماه. لذا، يوصى بشدة بأن ينفذ جدول تطعيم لتقليل حدوث تغيف الدم المعموي. هذا اللقاح يجب أن يولد مناعة وقائية كافية، خصوصاً ضد المطثية الحاطمة أنماط A و D.

22. Gokce HI,, Genc O, Sozmen M, Gokce G. Determination of Clostridium perfringens Toxin-Types in Sheep with Suspected Enterotoxemia in Kars Province, Turkey. Turk J Vet Anim Sci. 2007; 31(5):355-360.
- dairy cows with hemo-rrhagic bowel syndrome or left -displaced abomasums.JAVMA 2005;227(1):132-138.
21. Quinn PJ, Markey BK, Carter ME, Donnelly WJC, Leonard FC. Veterinary Microbiology and Microbial Diseases. USA: Blackwell publishing Company; 2003. 84–96p.